

ОСЦИЛЛАЦИОННАЯ ЗАВИСИМОСТЬ ВЕЛИЧИНЫ ПОРОГОВОГО ПОЛЯ СРЫВА ВОЛНЫ ЗАРЯДОВОЙ ПЛОТНОСТИ В NbSe₃ ОТ АМПЛИТУДЫ ВЫСОКОЧАСТОТНОГО ПОЛЯ НАКАЧКИ

Ю.И.Латышев, В.Е.Минакова, Ю.А.Ржанов

На образцах NbSe₃ малого поперечного сечения в условиях внешней ВЧ-накачки обнаружен осцилляционный характер зависимости величины порогового поля срыва волны зарядовой плотности (ВЗП) от амплитуды ВЧ-поля, предсказанный классической и туннельной модельями движения ВЗП в периодическом примесном потенциале.

Когда в условиях движения ВЗП к квазидномерному проводнику приложено также ВЧ-поле накачки, на вольт-амперных характеристиках образца появляются ступени постоянного тока ВЗП (ступени Шапиро), соответствующие условию кратности частоты внутренних колебаний тока ВЗП ω_i частоте поля накачки ω : $p\omega_i = q\omega$ (p, q – целые числа)^{1,2}. Характер экспериментальных зависимостей величины ступеней от амплитуды E_{rf} и частоты поля накачки² в целом согласовывался с классической³ и туннельной⁴ моделями движения ВЗП. Одним из наиболее существенных расхождений с^{3,4} было отсутствие на эксперименте^{2,4,5} предсказываемых в^{3,4} осцилляций зависимости величины порогового поля срыва ВЗП E_T от E_{rf} , что ставило под сомнение правильность или, по крайней мере, применимость этих моделей в области $E \sim E_T$.

В настоящей работе приводятся первые результаты наблюдения и исследования эффекта осцилляций зависимости E_T (E_{rf})¹.

¹⁾ Эти результаты частично докладывались на II Всесоюзном симпозиуме по неоднородным электронным состояниям⁶, в недавней работе⁷ также сообщалось, что новые данные о характере зависимости E_T (E_{rf}) в NbSe₃ будут скоро опубликованы.

В отличие от предшествующих работ, измерения проводились на образцах NbSe₃ малого поперечного сечения $2 \cdot 10^{-10} \div 5 \cdot 10^{-9}$ см², что, как известно⁸, обеспечивает высокую когерентность движения ВЗП.

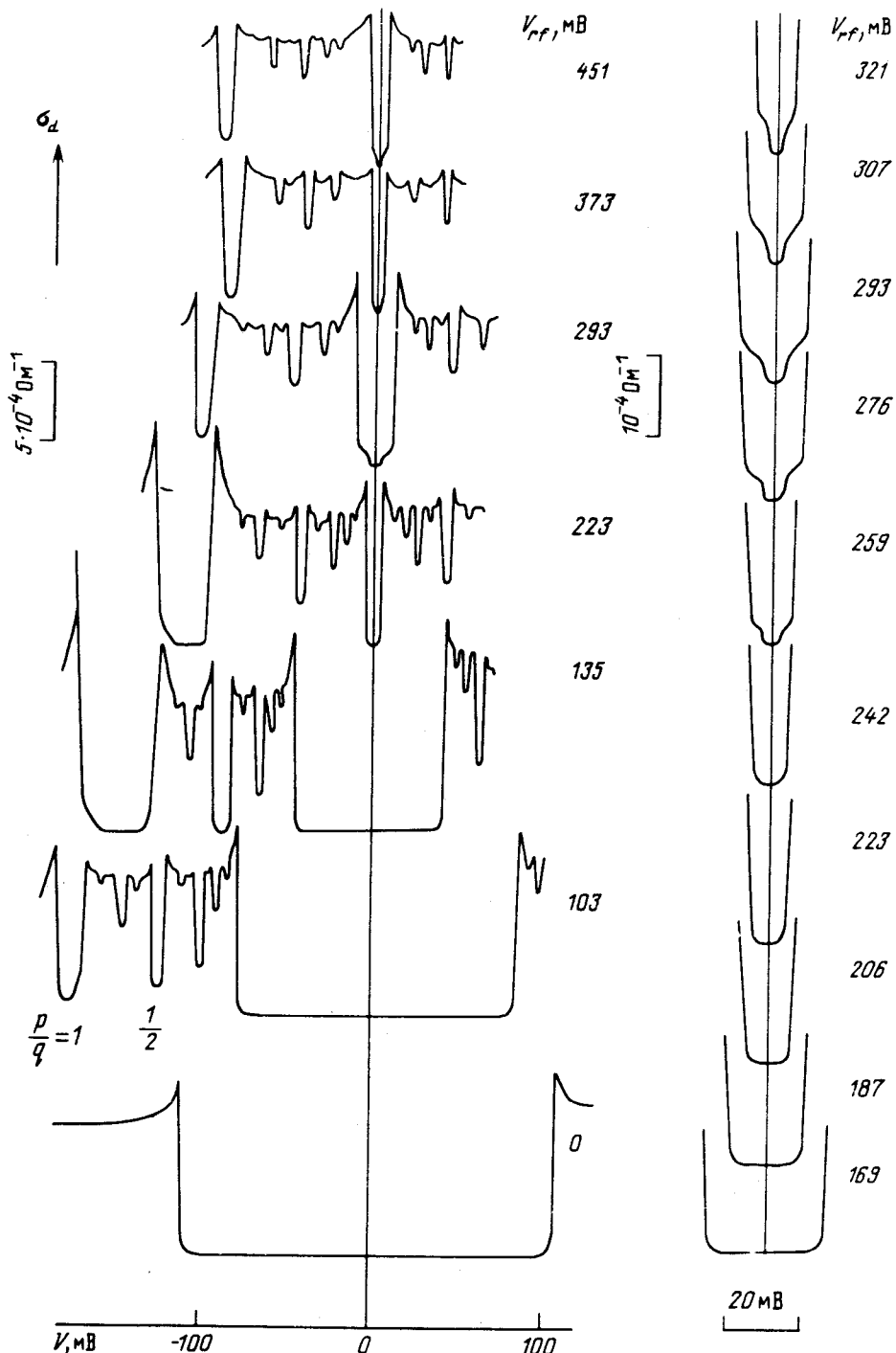


Рис. 1. Серия зависимостей $\sigma_d(V)$ образца NbSe₃ с размерами $2,5 \cdot 10^{-9}$ см² · 0,05 см при разных амплитудных значениях ВЧ- поля V_{rf} . $T = 39$ К. Нули кривых при $V_{rf} > 0$ смещены вверх. Справа даны начальные участки кривых $\sigma_d(V)$

На рис. 1 изображена серия зависимостей дифференциальной проводимости σ_d от напряжения смещения на образце V при разных амплитудах поля накачки V_{rf} частотой 0,8 ГГц.

При $V_{rf} = 0$ выход из состояния пиннинга с ростом V происходит скачком при $V = V_t$, при этом в момент срыва ВЗП σ_d достигает резкого максимума и затем уменьшается до постоянной величины σ_d^{ac} . Такая асимптотика поведения $\sigma_d(V)$ характерна для модели движения жесткой ВЗП³, а также следует из модели, учитывающей деформацию ВЗП в пределе, когда размер домена ВЗП больше размера образца⁹. Скачок σ_d при $V = V_t$ связывается с тем, что ВЗП при $V = V_t$ начинает двигаться сразу как целое во всем объеме образца. По мере роста V_{rf} (до $V_{rf} \approx 220$ мВ) наблюдается уменьшение V_t , а также появление и развитие ступеней Шапиро. Начиная с $V_{rf} \approx 120$ мВ σ_d в области первой ступени ($p/q = 1$) достигает значения σ_d в состоянии пиннинга ВЗП (условие полной синхронизации (ПС) колебаний с $p/q = 1$ при движении ВЗП). Наблюдалась также ПС колебаний с $p/q = 1/2$. Вид σ_d при $V \sim V_t$, наличие ПС колебаний тока ВЗП свидетельствует о высокой когерентности характера движения ВЗП, близком к однодоменному в изучаемых образцах^{9,10}.

При дальнейшем увеличении V_{rf} , с $V_{rf} \geq 220$ мВ начинает проявляться осцилляционный характер зависимости $V_t(V_{rf})$: V_t сначала возрастает (рис. 1, кривая при $V_{rf} = 293$ мВ), затем уменьшается (373 мВ), потом снова возрастает (451 мВ). Полученная осцилляционная зависимость $V_t(V_{rf})$ приведена на рис. 2. В области $V_{rf} \geq 220$ мВ, когда начинается первая осцилляция зависимости $V_t(V_{rf})$, появляется тонкая структура $\sigma_d(V)$ (правая часть рис. 1, кривые при $V_{rf} = 259 \div 321$ мВ), проявляющаяся в увеличении σ_d на 2÷7% в полях в 1,5 – 3 раза меньших V_t .

Для менее совершенных образцов, в которых, по-видимому, не достигался однодоменный характер движения ВЗП (отсутствие условия ПС, наличие характерного провала $\sigma_d(V)$ при $V > V_t$ ниже величины σ_d^{ac} ⁹), осцилляции зависимости $V_t(V_{rf})$ практически замыкались.

Осцилляционная зависимость $V_t(V_{rf})$ следует из теории, описывающей движение ВЗП в периодическом примесном потенциале^{3,4}. Так в классической модели³ уравнение движения ВЗП записывается в виде

$$m\ddot{x} + 1/\tau \dot{x} + \frac{m\Omega_c}{Q\tau} \sin Qx = e(E + E_{rf} \sin \omega t), \quad (1)$$

где m и Q – соответственно масса и волновой вектор ВЗП, характерная частота $\Omega_c = \omega_0^2 \tau$, ω_0 – собственная частота колебаний ВЗП, $1/\tau$ описывает трение ВЗП. В туннельной модели рассмотрен несинусоидальный тип периодического потенциала взаимодействия ВЗП с примесями⁴. На рис. 2 проведено сравнение экспериментально полученной зависимости $V_t(V_{rf})$ с зависимостью, даваемой уравнением (1) для $\omega/\Omega_c = 1,3$. Несмотря на то, что величина осцилляций меньше теоретической и осцилляции не "проваливаются" до нуля (см. вставку к рис. 2), качественный характер экспериментальной зависимости и период осцилляций находятся в хорошем согласии с (1). Величина Ω_c , соответствующая наилучшему согласию с экспериментальной зависимостью $V_t(V_{rf})$ по k -критерию¹¹, оказывается равной 610 МГц, что близко данным по частотной зависимости максимальной амплитуды первой ступени Шапиро¹², измеренным для этого же образца: $\Omega_c = 560$ МГц.

Величина Ω_c , определявшаяся ранее для образцов NbSe₃ с меньшими (приблизительно в 7 раз) пороговыми полями², составляла ~ 100 МГц, так что отношение Ω_c/E_t оказывается примерно одинаковым для наших образцов и образцов NbSe₃ в². В модели³ соответствующая величина $\Omega_c/E_t = Qe\tau/m$. Постоянство величины Ω_c/E_t для разных образцов, по-видимому, свидетельствует о слабой зависимости величины τ от концентрации примесей в NbSe₃ подобно тому, как это имеет место в TaS₃¹³.

Для качественного понимания физического смысла осцилляционной зависимости $V_t(V_{rf})$ на базе уравнения (1) было численно проанализировано поведение фазы ВЗП $\theta = Qx$ при малом постоянном поле $V_0 = 0,2V_t$ в зависимости от величины V_{rf} . На рис. 3 приведены зависимости области изменения $\theta(V_{rf})$ и $V_t(V_{rf})$ вплоть до V_{rf} , соответствующих

четырем осцилляциям $V_T(V_{rf})$. Как видно из рисунка, с увеличением V_{rf} до величины, когда $V_0 < V_T(V_{rf})$ (2), фаза ВЗП локализована в заштрихованной области I, соответствующей колебаниям ВЗП в одной потенциальной яме (в правой части рисунка изображен периодический примесный потенциал $V_{B3}(\theta)$ в модели ³). При $V_0 > V_T(V_{rf})$ (3) фаза начинает бесконечно расти, что соответствует движению ВЗП. При выполнении условия (2) на первой осцилляции $V_T(V_{rf})$ фаза ВЗП опять локализована (заштрихованная область II), но теперь уже в двух соседних потенциальных ямах и т.д. Таким образом, физический смысл осцилляционной зависимости $V_T(V_{rf})$ в модели ³ и, по-видимому, в любой модели, рассматривающей периодический примесный потенциал, заключается в том, что с ростом V_{rf} фаза ВЗП за период изменения V_{rf} последовательно локализована в одной, двух и т.д. периодических потенциальных ямах.

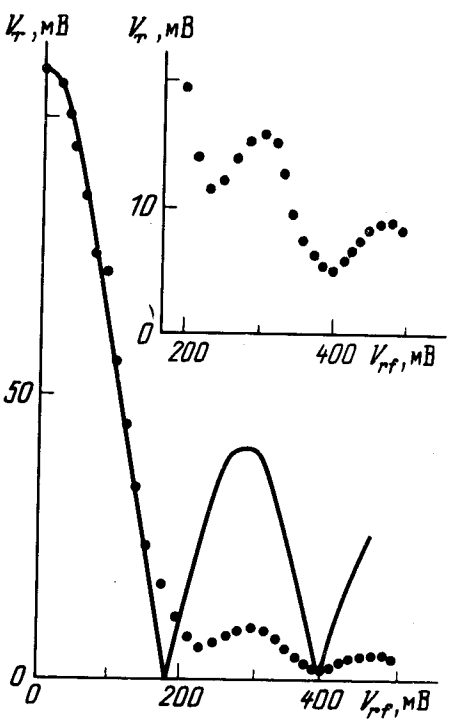


Рис. 2

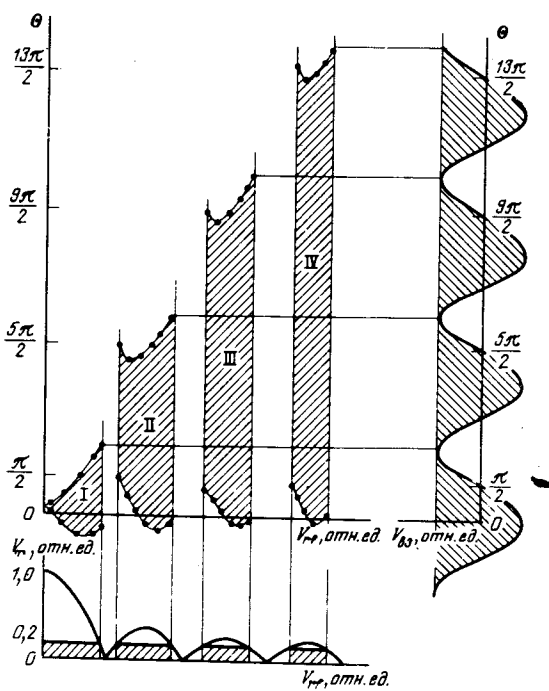


Рис. 3

Рис. 2. Экспериментальная и рассчитанная из (1) при $\omega/\Omega_c = 1.3$ (сплошная кривая) зависимость $V_T(V_{rf})$

Рис. 3. Изменение величины V_T и границ областей локализации фазы ВЗП θ с ростом V_{rf} . Расчет на основе (1) проводился при постоянном поле $V_0 = 0, 2V_T$ и параметрах $\omega/\Omega_c = 1, 2$: $(\omega_0 t)^2 = 0, 2$. Справа показан примесный потенциал $V_{B3}(\theta)$

Возможно также, что тонкая структура зависимости $\sigma_d(V)$ при $V < V_T$ в области, соответствующей первой осцилляции $V_T(V_{rf})$, связана с тем, что она несет информацию о колебаниях ВЗП в двух соседних потенциальных ямах, хотя этот вопрос требует еще дополнительного исследования.

Таким образом, наличие на эксперименте осцилляционной зависимости $V_T(V_{rf})$ является одним из прямых доказательств существования периодического потенциала взаимодействия ВЗП с примесями в $NbSe_3$.

Мы благодарны С.Н.Артеменко и А.Ф.Волкову за обсуждение работы, а также Я.С.Савицкой и В.В.Фролову за предоставление образцов.

Литература

1. Monceau P., Richard J., Renard M. Phys. Rev. Lett., 1980, **45**, 43.
2. Zettl A., Grüner G. Solid State Comm., 1983, **46**, 501.
3. Grüner G., Zawadowski A., Chaikin P.M. Phys. Rev. Lett., 1981, **46**, 511.
4. Thorne R.E., Tucker J.R., Bardeen J., Brown S.E., Grüner G. Phys. Rev., 1986, **B33**, 7342.
5. Zettl A., Grüner G. Phys. Rev., 1984, **B29**, 755.
6. Латышев Ю.И., Минакова В.Е. Тезисы докладов II Всесоюзного симпозиума "Неоднородные электронные состояния". 1987, Новосибирск, с. 20.
7. Thorne R.E., Tucker J.R., Bardeen J. Phys. Rev. Lett., 1987, **58**, 828.
8. Бородин Д.В., Зайцев-Зотов С.В., Надь Ф.Я. ЖЭТФ, 1986, **90**, 318.
9. Klemm R.A., Robbins M.O. Physica, 1986, **B143**, 76.
10. Sherwin M.S., Zettl A. Phys. Rev., 1985, **B32**, 5536.
11. Лихарев К.К., Ульрих Б.Т. "Системы с джозефсоновскими контактами", 1978, М.: изд. МГУ, с. 89.
12. Латышев Ю.И., Минакова В.Е., Савицкая Я.С., Фролов В.В., Мищенко А.В., Федоров В.Е. Тезисы докладов II Всесоюзного симпозиума "Неоднородные электронные состояния". 1987, Новосибирск, с. 18.
13. Reagor D., Grüner G. Phys. Rev. Lett., 1986, **56**, 659.

Институт радиотехники и электроники
Академии наук СССР

Поступила в редакцию
8 мая 1987 г.